文章编号: 1000-128X(2019)03-0095-04

ELECTRIC DRIVE FOR LOCOMOTIVES №3, 2019(May 10, 2019)

LLC 谐振全桥软开关 DC/DC 变换器研究

张小勇,张 庆,饶沛南,耿志东,罗 盼 (株洲中车时代电气股份有限公司,湖南 株洲 412001)

摘 要:为适应变流产品高频化、高功率密度化的发展趋势,重点介绍了LLC谐振软开关电路的工作原理,研究了LLC谐振网络主要数学关系,分析了软开关实现的理论条件。提出了LLC谐振软开关电路在工程上实现软开关的3个约束,结电容放电时间约束、一次侧电流过零约束和频率匹配约束。在此基础上搭建了1台60kW基于LLC谐振软开关的DC/DC变换器,并通过试验验证了设计的可行性。

关键词: LLC 谐振; 软开关; DC/DC 变换器; 软开关工程约束; 结电容放电时间; 一次侧电流过零时间; 频率匹配

中图分类号: TM46

文献标识码: A

doi: 10.13890/j.issn.1000-128x.2019.03.020

Design of Full-bridge Soft-switching DC/DC Converter Based on LLC Resonant

ZHANG Xiaoyong, ZHANG Qing, RAO Peinan, GENG Zhidong, LUO Pan

(Zhuzhou CRRC Times Electric Co., Ltd., Zhuzhou, Hunan 412001, China)

Abstract: In order to adapt to the development trend of high frequency and high power density of converter products, the working principle of LLC resonant soft-switching circuit was mainly introduced, the main mathematical relationship of LLC resonant network was studied, and the theoretical conditions of soft-switching realization were analyzed. Three constraints of LLC resonant soft-switching circuit, including the time constraints of junction capacitance discharge, zero-crossing constraints of primary current and frequency matching constraints, were proposed. On this basis, a 60 kW DC/DC converter based on LLC resonant soft-switching was built, and the feasibility of the design was verified by experiments.

Keywords: LLC-resonant; soft switching; DC/DC converter; soft switch engineering constraints; junction capacitance discharge time; time for primary current to cross zero; frequency matching

0 引言

随着现代电力电子技术的进步和高频开关器件的性价比提升,开关电源向着高频化、集成化和模块化的方向发展。谐振软开关技术是利用电路中电感和电容元件的谐振,在电压或电流周期性过零时开通或关断开关器件。这种开关方式显著地减少了开关损耗,同时避免了器件硬开关时的高 di/dt 和 dv/dt 产生的电磁干扰,使得开关频率能够进一步提高,进而减小变换器体积¹¹¹,提高设备的功率密度,降低开关噪声,减少开关损耗。

全桥变换器领域的软开关主要有移相全桥零电压

收稿日期: 2018-06-07; 修回日期: 2019-04-12

(ZVS)变换器和零电压/零电流(ZVS/ZCS)变换器。移相全桥 ZVS 软开关方式在系统轻载时滞后臂难于实现软开关;移相全桥 ZVS/ZCS 软开关方式,需要外部电流复位回路,且一次侧存在较大的回流电流^[2-3]。以上2种软开关方式均存在器件增加的问题,而 LLC 谐振软开关变换器利用电路的寄生参数控制,在开通时,由于开关管结电容的存在,因此是零电压开通;在关断时,开关管电流谐振到励磁电流,此电流相对运行电流很小,近似零电流关断。同时,变换器二次侧整流二极管电流自然到 0 A,并在零电流处关断,实现二次侧整流二极管软开关。LLC 谐振软开关变换器能同时实现一次侧、二次侧软开关,大幅减小开关损耗。因此,近年来全桥软开关技术的研究重点集中在 LLC 电路中。

—95—

1 LLC 电路的基本原理

典型的全桥 LLC 电路如图 1 所示。

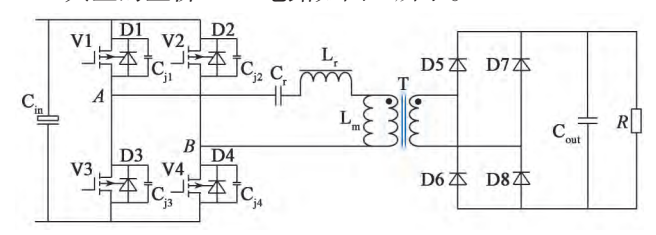


图 1 全桥 LLC 主电路原理图

图 1 中, C_{in} 作为输入电容起着支撑电容的作用; 4 个开关管 V1~V4 组成全桥逆变网络,采用定频定脉 宽的控制方式,其控制脉宽占空比接近 50%,同一桥 臂上下 2 个开关管之间设置有死区;D1~D4 是开关 管的反并联(或体)二极管;C_{j1}~C_{j4} 是开关管的结电 容;谐振电容 C_r、变压器漏感 L_r 和激磁电感 L_m 共同 组成谐振网络;T 是高频变压器,变压器变比为 N:1; D5~D8 组成全桥整流电路;C_{out} 为输出电容; R 为负载。

各器件的主要工作波形如图 2 所示。开关管开通时,由于结电容的存在是零电压开通 (ZVS);关断时,谐振网络在变压器一次侧产生准正弦电流,开关管在较小的电流下关断,实现开关管的近似零电流关断 (ZCS)。

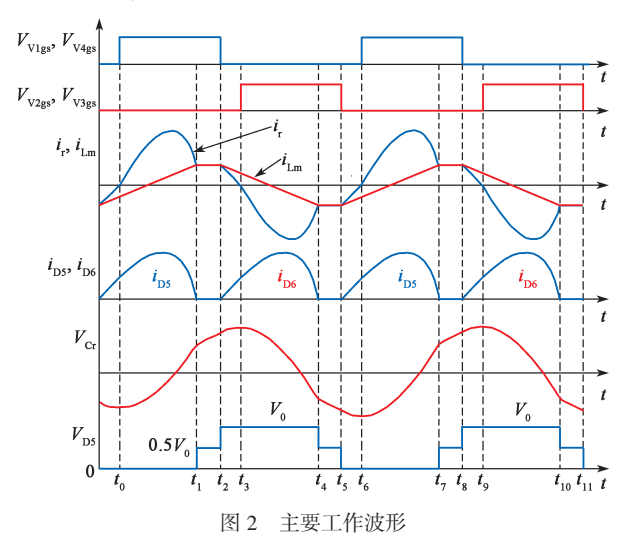


图 2 中, $V_{V1gs} \sim V_{V4gs}$ 为开关管驱动电压; i_r 为变压器一次侧电流; i_{Lm} 为变压器励磁电流; i_{D5} 和 i_{D6} 为变压器二次侧二极管电流; V_{Cr} 为谐振电容电压; V_{D5} 为二极管电压。

主要工作模态为[4]:

①模态 $1(t_0\sim t_1)$: t_0 时刻,D1 和 D4 已经导通,此时开通 V1 和 V4,所以 V1 和 V4 是 ZVS 开通。变压器一次侧电压极性呈上"+"下"-",向变压器二次侧传递能量,二极管 D5 和 D8 导通。变压器励磁电感电压被二次侧钳位在 NV_{out} (其中 V_{out} 为输出电压,近似不变),其电流线性上升,不参与谐振。

此时,谐振角频率
$$\omega_{\rm r} = \frac{1}{\sqrt{L_{\rm r}C_{\rm r}}}$$

变压器一次侧电流 i_r 、谐振电容电压 V_{Cr} 和励磁电

流 im 表达式分别为

$$i_{r}(t) = \frac{V_{in} - NV_{out} + V_{C_{rmax}}}{\omega_{r} L_{r}} \sin\left[\omega_{r}(t - t_{0})\right]$$

$$V_{Cr}(t) = V_{in} - NV_{out} - (V_{in} - NV_{out} + V_{Crmax})\cos\left[\omega_{r}(t - t_{0})\right]$$

$$i_{Lm}(t) = \frac{NV_{out}}{L_{m}}(t - t_{0})$$

②模态 $2(t_1 \sim t_2)$: t_1 时刻变压器一次侧电流与励磁电流相等,变压器一次侧没有传递能量,二次侧 4 个整流二极管均截止,二极管关断时流经二极管的电流已经为 0,整流二极管工作在 ZCS 状态,输出电压靠输出电容提供。励磁电感参与谐振,谐振角频率 $\omega_1 = \frac{1}{\sqrt{(L_m + L_r)C_r}}$ 。在 $t_1 \sim t_2$ 时间内,由于励磁电感远大于变压器漏感, $i_r(t)$ 近似认为不变。得到一次侧电流 i_r ,励磁电流 i_r 和谐振电容电压 V_{Cr} 为

$$t_{2} - t_{1} = 0.5 \left(\frac{1}{f} - \frac{1}{f_{r}} \right)$$

$$i_{r}(t) = i_{Lm}(t) = I_{max}$$

$$V_{Cr}(t) = v_{Cr}(t_{1}) + \frac{I_{max}}{C_{r}}(t - t_{1})$$
(2)

模态 $3(t_2\sim t_3)$: t_2 时刻关断 V1 和 V4,由于结电容的存在,关断时为 ZVS 状态。此时,变压器一次侧电流给 C_{j1} 和 C_{j4} 充电, C_{j2} 和 C_{j3} 放电。当 C_{j2} 和 C_{j3} 电压到 0 时,D2 和 D3 导通。变压器一次侧电压极性呈下"+"上"-",开始向变压器二次侧传递能量,二极管 D6 和 D7 导通。励磁电感电压被钳位到 $-NV_{out}$,励磁电流线性下降。由谐振角频率 ω_r 得到变压器一次侧电流 i_r 、谐振电容电压 V_{Cr} 和励磁电流 i_{Lm} ,其表达式分别为

$$\begin{split} i_{\rm r}\left(t\right) = & I_{\rm max} \cos\left[\omega_{\rm r}\left(t-t_2\right)\right] - \frac{V_{\rm in}-NV_{\rm out}+V_{\rm Cr}\left(t_2\right)}{\omega_{\rm r}L_{\rm r}} \sin\left[\omega_{\rm r}\left(t-t_2\right)\right] \\ V_{\rm Cr}(t) = & -V_{\rm in}+NV_{\rm out}+\left[V_{\rm in}-NV_{\rm out}+V_{\rm Cr}\left(t_2\right)\cos\left[\omega_{\rm r}\left(t-t_2\right)\right] + \right. \\ & \left. 2\pi f_{\rm r}L_{\rm r}I_{\rm Lm}\sin\left[\omega_{\rm r}\left(t-t_2\right)\right] \right. \\ i_{\rm Lm}\left(t\right) = & -\frac{NV_{\rm out}}{L_{\rm m}}\left(t-t_2\right) \end{split}$$

2 开关管软开关的条件

LLC 主电路的主要特征集中在 C_r , L_r , L_m 组成的谐振网络上。将 C_r , L_r , L_m 组成的谐振网络单独提取出来,如图 3 所示。

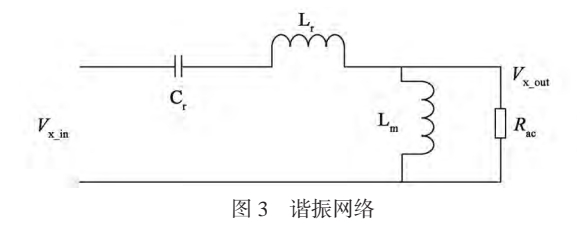


图 3 中, $V_{x_{-in}}$ 为谐振网络的输入电压; $V_{x_{-out}}$ 为谐振网络的输出电压;负载电阻折算到谐振网络的等效电阻 $R_{ac} = \frac{8N^2}{\pi^2} R_{\circ}$ 根据图 3,可得到谐振网络的传递函数:

$$H(s) = \frac{\frac{sR_{ac}L_{m}}{R_{ac} + L_{m}}}{sL_{r} + \frac{1}{sC_{r}} + \frac{sR_{ac}L_{m}}{R_{ac} + L_{m}}} = \frac{s^{2}R_{ac}C_{r}L_{m}}{s^{3}C_{r}L_{r}L_{m} + s^{2}C_{r}R_{ac}\left(L_{r} + L_{m}\right) + sL_{m} + R_{ac}}$$
(4)

令

$$k = \frac{L_{\rm m}}{L_{\rm r}}, \ x = \frac{f}{f_{\rm r}}, \ Q = \frac{2\pi f_{\rm r} L_{\rm r}}{R_{\rm ac}}$$

式中: k 为电感比; x 为开关频率和谐振频率之比; f_r 是由 C_r 和 L_r 确定的谐振网络频率; f 是开关管的工作 频率。

因此, 谐振网络的增益可表示为

$$|H| = \frac{kx^2}{\sqrt{\left[(1+k)x^2 - 1 \right]^2 + \left[Qkx(x^2 - 1) \right]^2}}$$
 (5)

同时可以得到谐振网络输入阻抗的表达式:

$$Z_{x_{in}} = sL_{r} + \frac{1}{sC_{r}} + \frac{sR_{ac}L_{m}}{sL_{m} + R_{ac}}$$
 (6)

2.1 谐振网络输入阻抗条件

从 LLC 主电路可以看到,由于开关管结电容的存在,开关管关断时是近似 ZCS 关断。开通阶段,如果谐振网络的输入阻抗是感性的,在开关管开通前,其寄生二极管已经导通,此时开通,开关管是 ZVS 状态。因此,开关管实现 ZVS 的条件是谐振网络的输入阻抗呈感性,即输入阻抗在工作频率下虚部大于 0。

设工作角频率 ω =2 πf 。将 ωj 代入式(6)并取其虚 部有 ^[5]

$$\operatorname{Im}\left(Z_{\mathbf{x}_{-}\operatorname{in}}(\omega j)\right) = \omega L_{\mathbf{r}} - \frac{1}{\omega C_{\mathbf{r}}} + \frac{64N^{4}R^{2}L_{\mathbf{m}}\omega}{\pi^{4}\omega^{2}L_{\mathbf{m}}^{2} + 64N^{4}R^{2}} \quad (7)$$

即

$$\omega L_{\rm r} - \frac{1}{\omega C_{\rm r}} + \frac{64N^4 R^2 L_{\rm m} \omega}{\pi^4 \omega^2 L_{\rm m}^2 + 64N^4 R^2} = 0 \Rightarrow$$

$$x - \frac{1}{x} + \frac{xk}{1 + x^2 k^2 O^2} = 0 \tag{8}$$

由式 (8) 可以得到,电路要在 ZVS 情况下开通,O 存在最大值:

$$Q_{\text{max}} = \sqrt{\frac{1}{k(1-x^2)} - \frac{1}{k^2 x^2}} \tag{9}$$

2.2 开关频率条件

根据式(6)可以绘制输入阻抗虚部关于x在不同Q值情况下的曲线图,如图 4 所示。

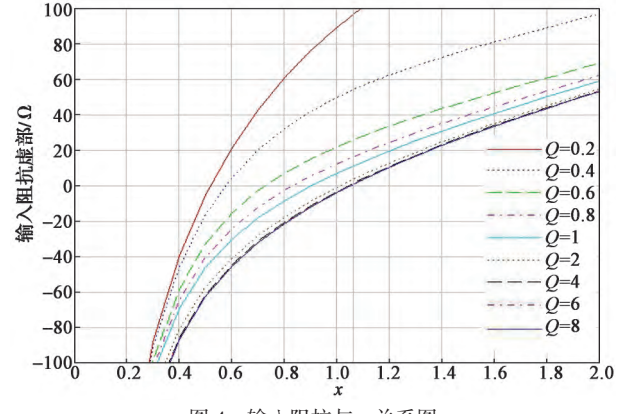


图 4 输入阻抗与 x 关系图

由图 4 可知, Q 值越小时,曲线穿越 0 点时对应的频率越小。根据不同 Q 值时曲线穿越 0 点的频率情况,结合式(5)可以绘制出谐振网络增益关于 x 在不同 Q 值情况下的曲线图,如图 5 所示。

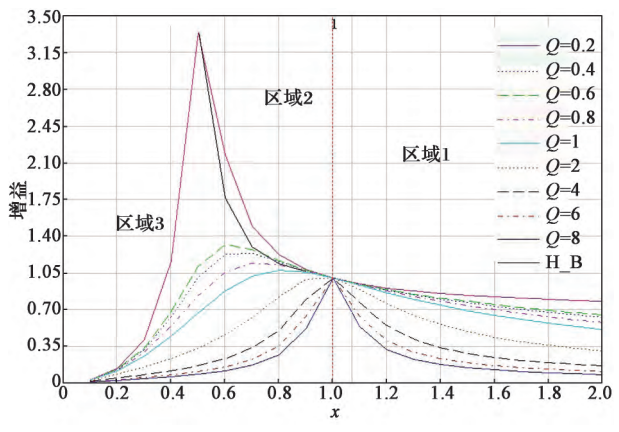


图 5 增益与 x 关系图

图 5 中的 H_B 和 x=1 是系统工作状态的边界曲线。 当系统工作在区域 3 时,开关管为 ZCS 工作状态;当系统工作在区域 2 和区域 1 时,开关管工作在 ZVS 状态, 且在区域 2 时,整流二极管工作在 ZCS 状态。因此, LLC电路开关管需尽量工作在区域 2。其工作频率范围为:

$$\frac{1}{2\pi\sqrt{(L_{\rm m} + L_{\rm r})C_{\rm r}}} = f_{\rm l} \le f \le f_{\rm r} = \frac{1}{2\pi\sqrt{L_{\rm r}C_{\rm r}}}$$
 (10)

2.3 工程化约束条件

在工程实践中,同一桥臂上的开关管必须存在死 区,死区时间同时受到以下几个条件限制。

2.3.1 开关管结电容放电时间

在 V1 关断时, C_{i3} 放电, 变压器励磁电流对 C_{i1} 充电, 当 C_{i3} 两端电压下降到 0 之后, 再开通 V3, 可以实现 V3 的零电压开通。因此, V1 和 V3 驱动信号之间的死 区时间必须大于 C_{i3} 放电的时间。放电时间由结电容, 励磁电感和开关频率共同确定, 如下式所示:

$$t_{\rm f} = 8C_{\rm i}L_{\rm m}f_{\rm s} \tag{11}$$

式中: t_f 为放电时间; C_j 为 IGBT 输出电容; f_s 为开关 频率; L_m 为变压器励磁电感。

2.3.2 变压器一次侧电流过零时间 [6]

IGBT 死区时间必须小于变压器一次侧电流反向过

—97—

零时间,若死区时间大于反向过零时间,则待开通的 开关管的结电容被充电,失去ZVS开通条件。功率越大, 该时间越短,软开关实现难度越大。一次侧电流过零 时间由式(2)确定:

$$tan^{-1} \left(\frac{N^{2}V_{o}}{2\pi f_{r} \frac{P_{o}}{V_{o}} L_{m}} \frac{f_{s}}{f_{r}} \right)$$

$$t_{g} = \frac{1}{2\pi f_{r}} \frac{1}{V_{o}} \left(12 \right)$$

式中: t_g 为变压器一次侧电流过零时间; N 为变压器变比; f_r 为谐振频率; P_o 为输出功率; V_o 为输出电压。 2.3.3 频率匹配时间

若开关动作时,谐振电流不足以下降到励磁平台 电流,则开关管将处于大电流关断状态。此时间要求 如下式所示:

$$t_{h} = \frac{1}{2f_{s}} (1 - x) \tag{13}$$

式中: t_h 为谐振半周期与开关半周期之差; x 为谐振频率与开关频率比值。

综上所述,开关管的死区时间需满足以下要求: $t_f \leq t_d \leq t_f + t_g \perp t_d \leq t_h$ (14)

若 $t_d \leq t_f$,则在开关管电压到 0 前,开关管关断,ZVS 条件消失,如图 6 所示。

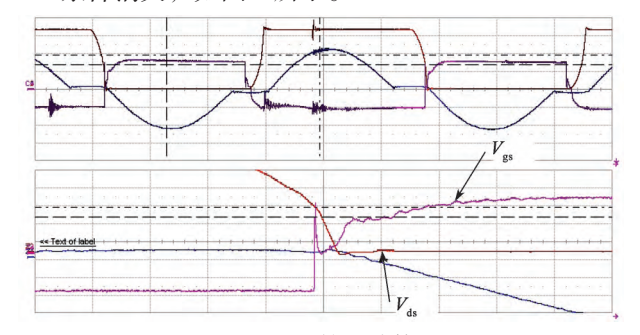


图 6 死区时间过小情况

若 $t_d \ge t_f + t_g$, 开关管电压存在反向尖峰, ZVS 条件也消失, 如图 7 所示。

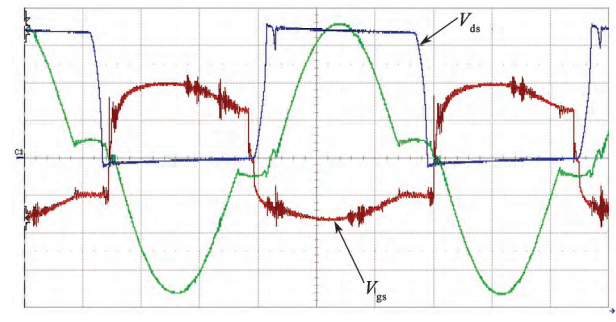


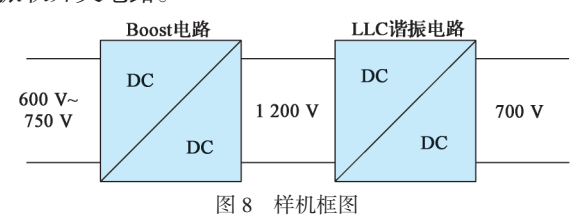
图 7 死区时间过大情况

图 6 和图 7 显示的是死区时间不满足式(14)时的 2 种情况。

3 样机测试

根据以上对 LLC 电路的分析,基于下一代地铁高

频辅助变流器平台搭建了一款 60 kW 的 DC/DC 变换器。 样机原理框图如图 8 所示,包括前级稳压电路和 LLC 谐振软开关电路。



系统参数:

输入电压	1 200 V
输出电压	700 V
开关频率	18 kHz
功率	60 kW
死区时间	3 µs

3.1 关键参数计算

由第 2 节可知,LLC 谐振软开关的关键参数为谐振电容 C_r 、变压器漏感 L_r 和变压器励磁电感 L_m 。其中, C_r 可以由式(15)确定:

$$C_{\rm r} = \frac{1}{2\pi f_{\rm r} R_{\rm ac} Q} \tag{15}$$

式中:Q为由增益、频率比和电感比确定的常数; R_{ac} 为负载折算到变压器一次侧的等效负载。

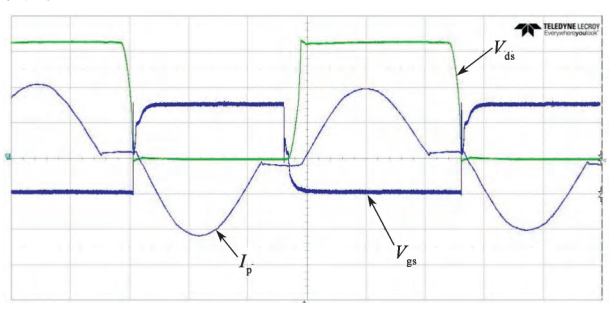
L_r 由 C_r 和谐振频率确定,如式(16)所示:

$$L_{\rm r} = \frac{1}{4\pi^2 C_{\rm r} f_{\rm r}^2} \tag{16}$$

 $L_{\rm m}$ 则由 $L_{\rm r}$ 和电感比 k 确定,如式(17)所示: $L_{\rm m}\!=\!kL_{\rm r}$ (17)

3.2 样机测试情况

由 2.3.2 中分析, 功率越大越难实现软开关。因此, 在最大功率情况下测试了产品的软开关特性, 如图 9 所示。



(a)满载关键波形

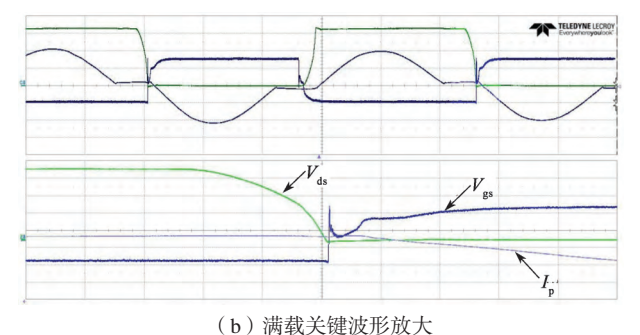


图 9 样机主要波形及其软开关状态(下转第 119 页)

大应力均降低,结构静强度有很大提高;虽然弓角最大应力降低不明显,但相对于原方案弓角,该结构弓角没有焊接结构,可以避免因焊接缺陷等因素引起的结构故障;由于弓头悬挂、上框架等改进,受电弓整弓应力状况也有一定改善,下臂杆、拉杆、平衡杆的最大应力也有所降低。

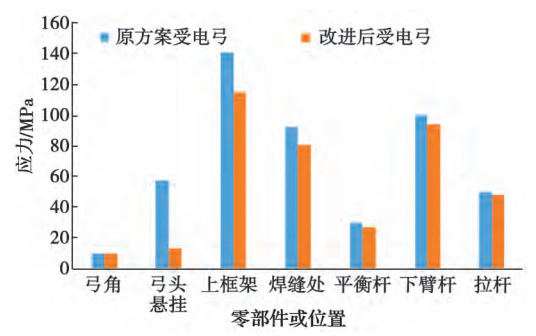


图 6 原方案和改进方案各部件应力对比

因此,改进方案受电弓中,受电弓弓头、上框架的强度明显提升,且对下臂杆、平衡杆、拉杆等的受力情况也有改善,应力水平有所下降,可靠性有所提升。

基于既有地铁受电弓的改进方案最先于 2015 年底在深圳地铁实施装车运用,后陆续在南宁、长沙、南京、杭州等地铁线路上装车运用,累计装车数量超过 500 架,运用中未发生过结构件失效、结构件开裂、弓网事故、滑板异常磨耗等问题。

3 结语

为了提高既有地铁受电弓的运行稳定性、可靠性, 提出了一种地铁受电弓改进方案,改进受电弓的上框架、弓角、弓头悬挂等结构件。通过静强度分析验证、 装车运用表明,改进后受电弓在结构强度上优于原方案,能够有效提高地铁受电弓运行稳定性。

参考文献:

- [1] 李伟.接触网[M].北京:中国铁道出版社,2000:55-58.
- [2] 李丰良, 唐松花. 受电弓的力学分析示例 [J]. 铁道学报, 2000, 22(5): 21-23.
- [3] 李敏,李丰良,马俊.高速受电弓的力学模型及运动微分方程[J]. 铁道科学与工程学报,2005,2(3):83-87.
- [4] 北京有色冶金设计研究总院. 机械设计手册:第1卷[M].4版. 北京:化学工业出版社,2002.
- [5] 北京有色冶金设计研究总院. 机械设计手册: 第2卷[M]. 4版.北京: 化学工业出版社, 2002.
- [6] 中国人民共和国国家质量监督检验检疫总局. 轨道交通 机车车辆受电弓特性和试验 第 2 部分: 地铁与轻轨车辆受电弓: GB/T 21561.2—2008/IEC 60494-2: 2002[S]. 北京:中国标准出版社, 2008.

作者简介: 吕阶军(1987—), 男, 工程师, 从事电力 机车、城轨车辆、动车组受流电气产品研发工作。

(上接第98页)

如图 9 所示,样机在最大输出功率时,未出现反向 尖峰和结电容放电不完全的现象,完全实现了软开关 工作,达到了设计目的。样机在额定输出和不同输入 以及额定输入和不同负载情况下的效率曲线如图 10、 图 11 所示。整机在不同工况下,效率均超过 92.5%。

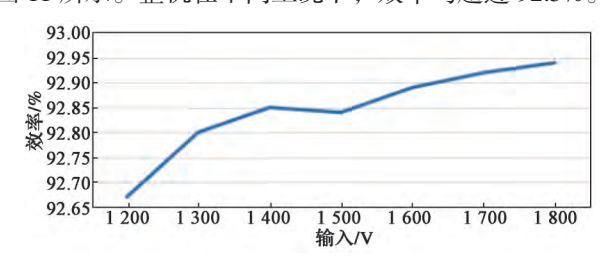


图 10 输入 - 效率曲线 (额定输出)

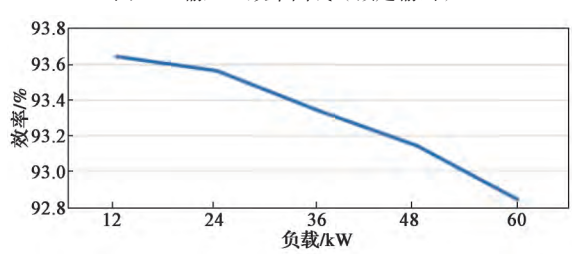


图 11 负载 - 效率曲线(额定输入)

4 结语

基于对 LLC 谐振变换电路的分析, 搭建了一台 60

kW 的 DC/DC 变换器。结合工程样机探讨了 LLC 电路 实现软开关的条件,提出了阻抗约束条件、频率约束 条件和工程约束条件。在工程约束条件中,重点讨论 了频率比、结电容放电时间和变压器一次侧电流过零 时间对死区时间的影响,为工程化应用中关键参数的 选取提供了设计依据。

参考文献:

- [1] 管松敏. LLC 谐振变换器 PWM 控制策略和同步整流技术的研究 [D]. 南京: 南京航空航天大学, 2013.
- [2] 阮新波. 脉宽调制 DC/DC 全桥变换器的软开关技术 [M]. 2 版. 北京: 科学出版社, 2013: 49-50.
- [3] 赵高华. 移相全桥 ZVS 变换器的研究 [D]. 杭州: 浙江工业大学, 2010.
- [4] 宫力. LLC 串联谐振全桥 DC/DC 变换器的研究 [D]. 武汉: 华中科技大学, 2008: 24-29.
- [5] 朱立泓. LLC 谐振变换器的设计 [D]. 杭州: 浙江大学, 2006: 17-18
- [6] 吴中民,刘威,吕征宇. LLC 全范围满载软开关优化设计 [J]. 浙 江大学学报(工学版), 2014, 48(12): 2223-2229.

作者简介: 张小勇(1980—), 男,高级工程师, 从事中大功率 DC/DC 变换器的研发工作。